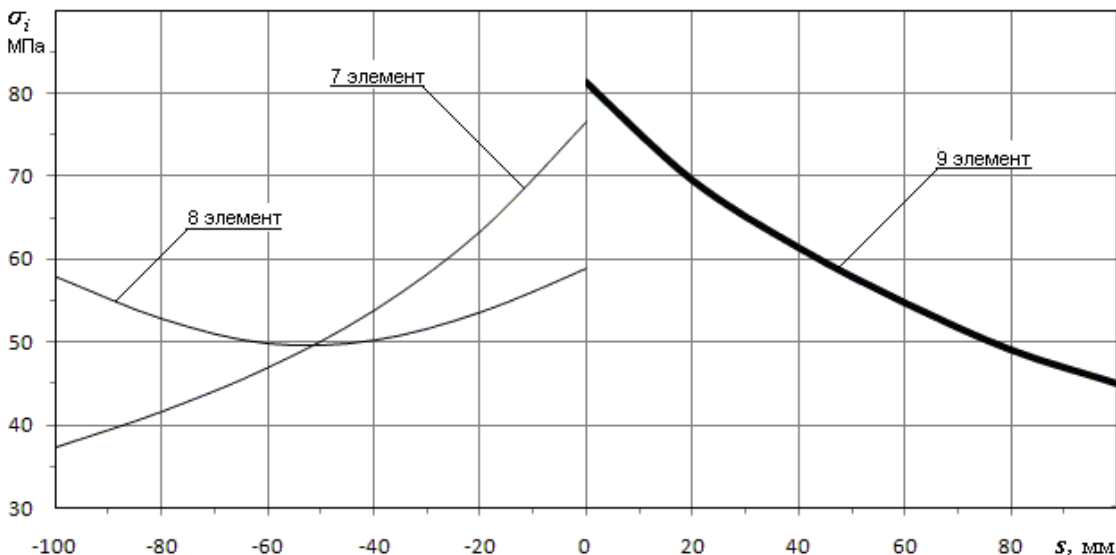


щественно (более чем в 3 раза) превышает интенсивность напряжений в узле 8. Причина такого состояния заключается в повышенной кольцевой жесткости второго элемента узла 2 (кольцевой пластиинки), что приводит к существенному повышению напряжений изгиба в оболочечных элементах этого узла. Это обстоятельство позволяет поставить вопрос о необходимости структурной оптимизации узла 2, заключающейся в замене кольцевой пластиинки элементом конической оболочки.



**Рисунок 7. Интенсивность напряжений в оболочечных элементах 7, 8, 9**

#### Литература

- Бидерман В.Л. Механика тонкостенных конструкций. – М.: Машиностроение, 1977. 488 с.
- Зенкевич О. Метод конечных элементов в технике. – М.: Мир, 1975. 544 с.

#### **Упругопластический расчет трубчатых элементов конструкций**

д.т.н. проф. Луганцев Л.Д., Кощеев Е.С.

Университет машиностроения

8(499)257-16-33

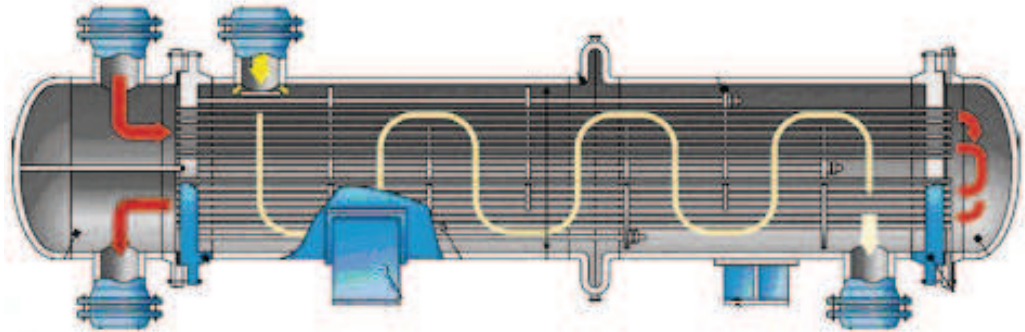
**Аннотация.** Изложены метод и алгоритм компьютерного анализа напряженно-деформированного состояния трубчатых элементов конструкций в упругопластической стадии работы. Представлены сведения о программной реализации предложенного метода расчета. Приведен пример расчета трубчатых элементов теплообменного аппарата.

**Ключевые слова:** трубчатый элемент, напряженно-деформированное состояние, упругопластический расчет, компьютерный анализ.

Трубчатые элементы широко применяются в химическом и нефтегазовом оборудовании: кожухотрубчатые теплообменные аппараты (рисунок 1), реакционные трубы печей и т.д. Повышенные термомеханические воздействия, связанные с форсированными режимами эксплуатации, вызывают в ряде случаев упругопластическое деформирование элементов конструкций. В таких условиях традиционные методы расчетов на прочность оказываются недостаточными. Для обоснованной оценки несущей способности конструкций необходимы

#### Серия 4. Химическое машиностроение и инженерная экология

методы, предусматривающие детальное исследование работы изделий за пределами упругих деформаций. Эффективные решения задач в такой постановке могут быть построены на основе деформационной теории пластичности и эффективного применения современных компьютерных технологий.



**Рисунок 1. Кожухотрубчатый теплообменный аппарат**

Трубчатый элемент рассматриваем как цилиндрическую оболочку постоянной толщины, известным образом закрепленную по торцам. Материал оболочечного элемента изотропный, упругий. Задана диаграмма деформирования конструкционного материала  $\sigma_i = \sigma_i(\varepsilon_i)$ .

На оболочку действуют распределенная по срединной поверхности нагрузка  $q_n$ , нормальная к срединной поверхности, а также распределенная по срединной поверхности оболочки нагрузка  $q_t$ , направленная по касательной к образующей. Кроме того, элемент может быть нагрет до температуры  $T = T_0 + ky$  (здесь  $y$  – расстояние от срединной поверхности элемента). Температура срединной поверхности элемента изменяется вдоль меридиана по заданному закону  $T_0 = T_0(z)$ . По толщине стенки температура изменяется по линейному закону с заданным градиентом  $k = k(z) = \Delta T(z) / h$ , где  $\Delta T(z)$  – перепад температуры по толщине стенки.

Решение задачи выполняем на основе деформационной теории пластичности [1]. В качестве координатной поверхности  $z = 0$  выбираем срединную поверхность цилиндрической оболочки. Задачу решаем в условиях справедливости гипотез Кирхгофа-Лява.

Напряженно-деформированное состояние упругопластической цилиндрической оболочки описывается следующей системой дифференциальных уравнений:

$$\begin{aligned} \frac{dx_1}{dz} &= -rq_z, \\ \frac{dx_2}{dz} &= \bar{N}_2 - rq_n + N_{2T}, \\ \frac{dx_3}{ds} &= Qr, \\ \frac{dx_4}{dz} &= \bar{\varepsilon}_1^0 + \varepsilon_{1T}^0, \\ \frac{dx_5}{dz} &= -x_6, \\ \frac{dx_6}{dz} &= \bar{\chi}_1^0 + \chi_{1T}^0. \end{aligned} \quad (1)$$

В этих уравнениях:  $x_1 = N_1 r$ ,  $x_2 = Qr$ ,  $x_3 = M_1 r$ ,  $x_4$  – осевое перемещение,  $x_5$  – радиальное перемещение,  $x_6$  – угол поворота нормали,  $N_1$  – осевое усилие,  $Q$  – поперечное усилие,  $M_1$  – меридиональный изгибающий момент,

$$\bar{N}_2 = c_{12}^{(0)} \bar{\varepsilon}_1^0 + c_{11}^{(0)} \varepsilon_2^0 + c_{12}^{(1)} \bar{\chi}_1^0, \quad N_{2T} = c_{12}^{(0)} \varepsilon_{1T}^0 + c_{12}^{(1)} \chi_{1T}^0 - d_{11}^{(0)};$$

$$\bar{\varepsilon}_1^0 = \frac{1}{c_{11}^{(0)}} \left[ N_1 - c_{12}^{(0)} \varepsilon_2^0 - c_{11}^{(1)} \bar{\chi}_1^0 \right], \quad \varepsilon_{1T}^0 = \frac{1}{c_{11}^{(0)}} \left[ d_{11}^{(0)} - c_{11}^{(1)} \chi_{1T}^0 \right];$$

$$\bar{\chi}_1^0 = \frac{1}{\Delta} \left[ c_{11}^{(0)} \left( \frac{x_3}{r} - c_{12}^{(1)} \varepsilon_2^0 \right) - c_{11}^{(1)} \left( N_1 - c_{12}^{(0)} \varepsilon_2^0 \right) \right], \quad \chi_{1T}^0 = \frac{1}{\Delta} \left[ d_{11}^{(1)} c_{11}^{(0)} - d_{11}^{(0)} c_{11}^{(1)} \right];$$

$$\Delta = c_{11}^{(0)} c_{11}^{(2)} - \left( c_{11}^{(1)} \right)^2.$$

Жесткостные параметры оболочки:

$$\begin{aligned} c_{11}^{(m)} &= \int_{-h/2}^{h/2} \frac{E_C(y) y^m}{1-\mu^2} dy \quad (m = 0, 1, 2), \\ c_{12}^{(m)} &= \int_{-h/2}^{h/2} \frac{\mu E_C(y) y^m}{1-\mu^2} dy \quad (m = 0, 1, 2), \\ d_{11}^{(m)} &= \int_{-h/2}^{h/2} \frac{E_C(y) \alpha T(y, z)}{1-\mu} y^m dy \quad (m = 0, 1). \end{aligned} \quad (2)$$

Для решения задачи применяем метод переменных параметров упругости [2]. Решение краевой задачи для системы дифференциальных уравнений (1) выполняем методом ортогональной прогонки. В процессе вычисления правых частей системы (1) жесткостные параметры оболочки находим по формулам (2) путем численного интегрирования. На нулевом приближении ( $k = 0$ ) при вычислении жесткостных параметров секущий модуль пластичности принимаем равным  $E_C = \frac{3E}{2(1+\mu)}$ . На следующих приближениях ( $k > 0$ ) правые части системы (1) вычисляем по следующему алгоритму. В узловых точках по толщине оболочки в поперечном сечении  $z$  находим компоненты деформаций:

$$\varepsilon_1(y) = \bar{\varepsilon}_1^0 + y \chi_1^0, \quad \varepsilon_2(y) = \varepsilon_2^0,$$

где  $\varepsilon_1^0, \varepsilon_2^0$  – компоненты деформации,  $\chi_1^0$  – изменение кривизны координатной поверхности, вычисленные на предыдущем,  $(k-1)$ -ом приближении:

$$\varepsilon_1^0 = \bar{\varepsilon}_1^0 + \varepsilon_{1T}^0, \quad \chi_1^0 = \bar{\chi}_1^0 + \chi_{1T}^0.$$

Для вычисленных значений деформаций  $\varepsilon_1(y), \varepsilon_2(y)$  методом последовательных приближений с использованием диаграммы деформирования конструкционного материала находим секущий модуль пластичности для рассматриваемого поперечного сечения  $z$  оболочки:

$$K = \frac{E}{3(1-2\mu)}, \quad \beta^{(p)}(y) = \frac{1-2E_C^{(p)}(y)/9K}{1+4E_C^{(p)}(y)/9K},$$

$$\varepsilon_3^{(p)}(y) = -\beta^{(p)}(y)(\varepsilon_1(y) + \varepsilon_2(y)), \quad (3)$$

$$\varepsilon_i^{(p)}(y) = \frac{\sqrt{2}}{3} \sqrt{\left( \varepsilon_1(y) - \varepsilon_2(y) \right)^2 + \left( \varepsilon_2(y) - \varepsilon_3^{(p)}(y) \right)^2 + \left( \varepsilon_3^{(p)}(y) - \varepsilon_1(y) \right)^2}.$$

$\sigma_i^{(p)}(y) = \sigma_i(\varepsilon_i^p(y))$  – по диаграмме деформирования материала,

$$E_C^{(p)}(y) = \frac{\sigma_i^{(p)}(y)}{\varepsilon_i^{(p)}(y)}.$$

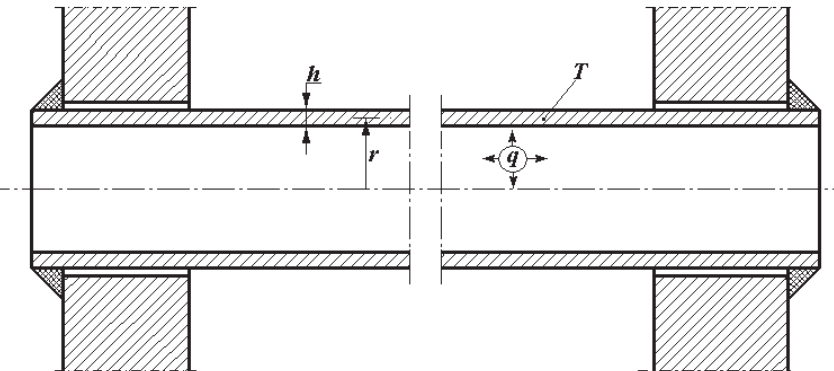


Рисунок 2. Трубчатый элемент теплообменного аппарата

В качестве нулевого приближения ( $p = 0$ ) при реализации итерационного процесса (3) выбираем  $E_C^{(0)}(y) = \frac{3E}{2(1+\mu)}$ . В результате находим в узловых точках оболочки с заданной точностью секущий модуль пластичности  $E_C(y)$ . Далее по формулам (2) находим жесткостные параметры оболочки, после чего вычисляем правые части системы (1).

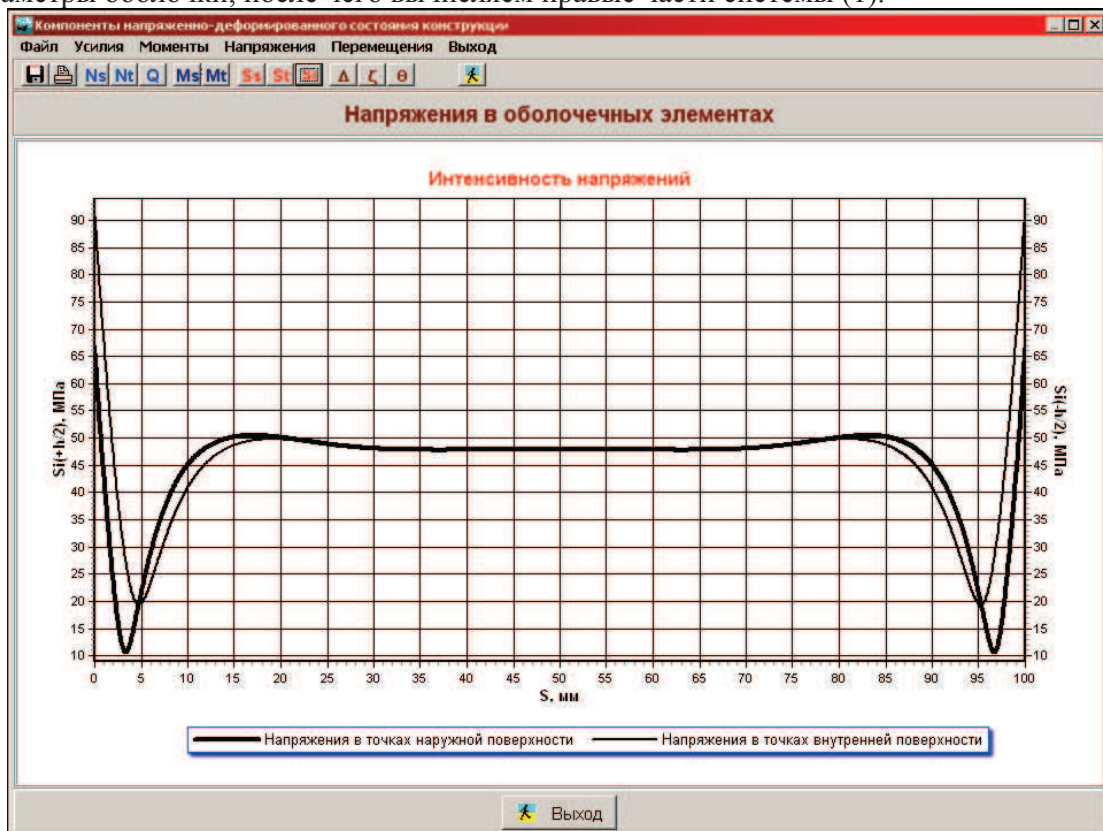


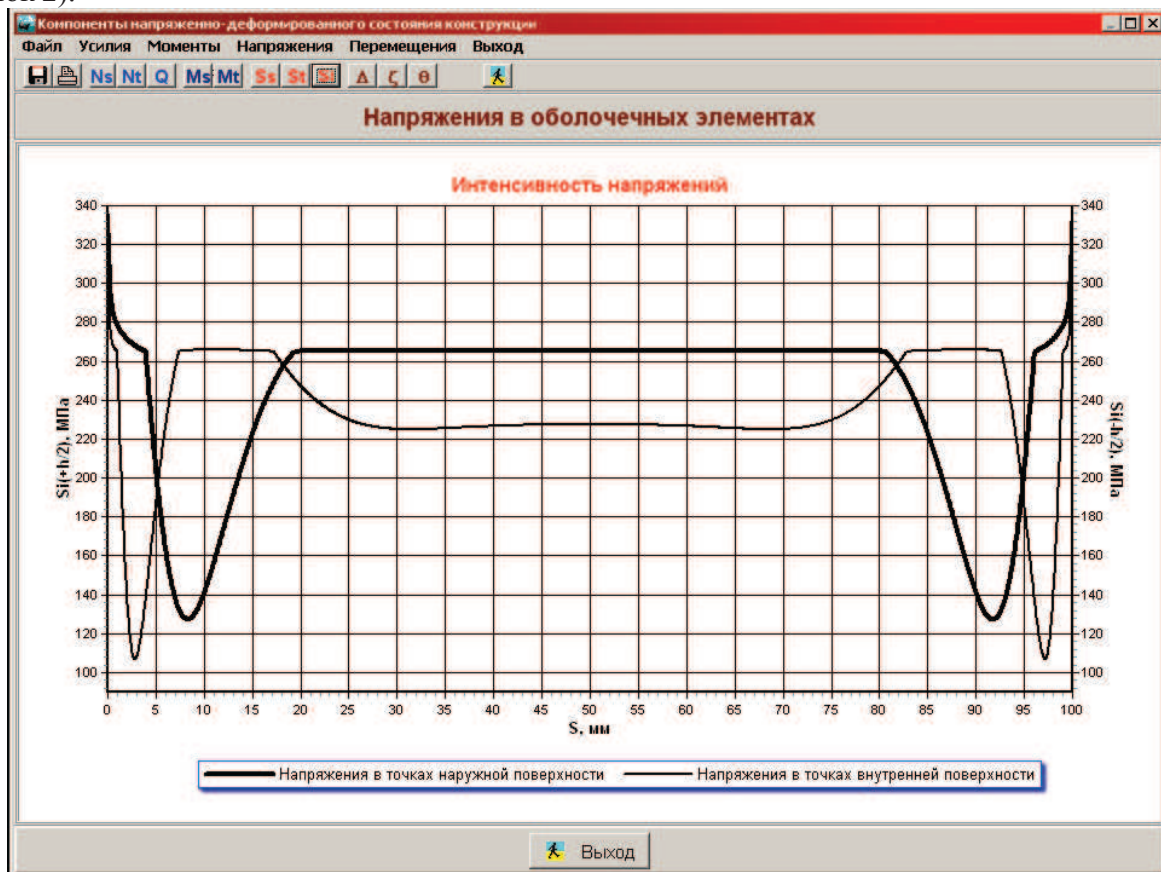
Рисунок 2. Интенсивность напряжений в трубчатом элементе в пусковом режиме  
( $q = 4$  МПа,  $T = 0$ )

При решении краевой задачи методом ортогонализации на  $k$ -ом приближении необходимо знать значения жесткостных параметров предыдущего приближения. Значения этих параметров в точках ортонормирования сохраняем в процессе решения краевой задачи на  $(k-1)$ -м приближении. Для определения значений жесткостных параметров в промежуточных точках участков ортогонализации на  $k$ -ом приближении применяем интерполяцию по Лагранжу.

Итерационный процесс решения системы дифференциальных уравнений (1) заканчивается, когда максимальное относительное расхождение двух последующих приближений станет меньше заданного значения  $\varepsilon$ .

Численная реализация изложенного метода и алгоритма упругопластического расчета трубчатых элементов конструкций осуществлена в виде программного обеспечения. Программный комплекс «ShellCylinderPlasticNonLinear» имеет модульную структуру, функционирует в операционных системах Windows XP / 7, предоставляет пользователю удобный, интуитивно понятный графический интерфейс. Позволяет выполнять численный анализ напряженно-деформированного состояния трубчатых элементов, прогнозировать работоспособность конструкций, осуществлять поиск оптимальных проектных решений.

В качестве примера выполним расчет трубчатого элемента теплообменного аппарата (рисунок 2).



**Рисунок 3. Интенсивность напряжений в трубчатом элементе в штатном режиме**  
 $(q = 4 \text{ МПа}, T_{\text{нап}} = 150^\circ\text{C}, T_{\text{вн}} = 100^\circ\text{C})$

Конструктивные параметры трубчатого элемента:  $r = 30 \text{ мм}$ ,  $h = 2 \text{ мм}$ , материал – аустенитная сталь 1Х18Н10Т. Характеристики конструкционного материала: предел текучести  $\sigma_T = 265 \text{ МПа}$ , модуль упругости  $E = 200000 \text{ МПа}$ , касательный модуль пластичности  $E_k = 5000 \text{ МПа}$ . Величина рабочего давления  $q = 4 \text{ МПа}$ .

#### Серия 4. Химическое машиностроение и инженерная экология

В период пуска аппарата температурное воздействие на трубчатый элемент отсутствует. Результаты расчета показывают, что трубчатый элемент в пусковом режиме работает в упругой стадии. На рисунке 2 представлены графики интенсивности напряжений в точках внутренней и наружной поверхностей элемента. Максимальная величина интенсивности напряжений достигает значения  $\sigma_i^{\max} = 92,1$  МПа в точках внутренней поверхности трубчатого элемента.

В штатном режиме температура наружной поверхности трубчатого элемента  $T_{\text{нап}}=150$  °C, температура внутренней поверхности равна  $T_{\text{вн}} = 100$  °C. На рисунке 3 представлены графики интенсивности напряжений в точках внутренней и наружной поверхностях элемента при работе аппарата в штатном режиме.

Результаты расчета показывают, что пластические деформации развиваются в узких зонах трубчатого элемента примыкающих к сварным соединениям с элементами конструкции корпуса аппарата. Длина пластических зон на наружной поверхности трубчатого элемента составляет 4 мм, на внутренней поверхности – 1,5 мм. Максимальная величина интенсивности деформаций достигает величины  $\varepsilon_i^{\max} = 0,0154$  в точках наружной поверхности элемента.

#### Литература

1. Малинин Н.Н. Прикладная теория пластичности и ползучести. – М.: Машиностроение, 1975. – 400 с.
2. Термопрочность деталей машин. Под ред. И.А. Биргера и Б.Ф. Шорра. – М.: Машиностроение, 1975. – 456 с.

### **Программное обеспечение компьютерного мониторинга несущей способности и ресурса трубчатых элементов конструкций**

д.т.н. проф. Луганцев Л.Д., Черненко М.О.  
Университет машиностроения  
8(499)257-16-33

*Аннотация.* Даётся описание программного комплекса, предназначенного для компьютерного мониторинга несущей способности и ресурса трубчатых элементов конструкций, работающих в условиях малоциклового нагружения.

*Ключевые слова:* трубчатый элемент, накопление повреждений, компьютерный мониторинг, ресурс конструкции.

Аварийные ситуации, связанные с отказами технологического оборудования нефтехимических и нефтеперерабатывающих производств, могут послужить причиной серьезных экологических катастроф. Длительность процессов накопления повреждений в конструкционном материале определяется условиями эксплуатации, а поврежденность материала не может быть выявлена традиционными методами неразрушающего контроля. Постепенно развивающиеся процессы накопления повреждений могут привести к внезапным отказам. В таких условиях эффективный компьютерный мониторинг должен предусматривать непрерывное наблюдение за состоянием технологического оборудования. Практическая невозможность исследования остаточного ресурса с помощью неразрушающих средств контроля определяет актуальность развития методов компьютерного моделирования процессов накопления повреждений, основанных на положениях механики упругопластической сплошной среды с учетом истории нагружения и изменения механических свойств конструкционного материала.